

# Modelado y reconocimiento de rostros

Alejandro Barrio Mateos

Universidad de Valladolid  
Facultad de Ciencias

20 de diciembre de 2023

# Objetivos del trabajo

- Presentar las estrategias *top-down* y *bottom-up*.
- Modelar la cara humana como una unión de **subvariedades** en función de su **curvatura**.
- Estudiar la evolución del modelo creado a través de **flujos**, los cuales permiten también analizar gestos.
- Indagar en las estrategias basadas en los datos, ejemplificado con el método **eigenfaces**.

# Tabla de contenidos

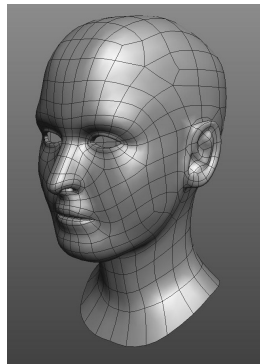
- 1 Modelado teórico
- 2 Flujos de curvatura
- 3 Enfoque variacional
- 4 Estrategias basadas en los datos
- 5 Conclusiones y trabajo futuro

# Tabla de contenidos

- 1 Modelado teórico
- 2 Flujos de curvatura
- 3 Enfoque variacional
- 4 Estrategias basadas en los datos
- 5 Conclusiones y trabajo futuro

# La cara como unión de subvariedades

- Se adopta un modelo basado en **apariencias**, sin considerar la estructura subyacente de huesos y músculos.
- La cara se modela inicialmente como una superficie conexas sin agujeros.



# Geometría de la cara humana

## Espacio tangente

$$T_p M = \{[c]_p \mid c \text{ es una curva tangente en } p\}$$

## Fibrado normal

Dada una inmersión  $f : S \rightarrow \mathbb{R}^3$  de una superficie  $S$ , el espacio normal en cada punto es  $(T_p \mathbb{R}^3 |_S) / (T_p S)$ . El pegado mediante cartas locales de todos ellos proporciona el espacio total del fibrado normal  $\mathcal{N}_f$ .

## Campos vectoriales

Un **campo vectorial** sobre  $M$  es una sección local del fibrado tangente. El conjunto de campos vectoriales en  $M$  de clase  $C^k$  se denota  $\mathcal{X}^k(M)$ .

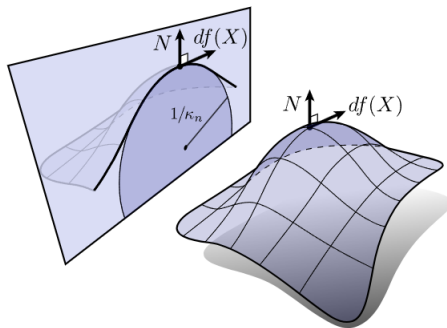
---

[1] Abraham, Marsden y Ratiu. *Manifolds, tensor analysis, and applications*. 1988.

# Referencias móviles en una superficie

## Aplicación de Gauss

$$N : U \rightarrow \mathbb{S}^2 / N(p) = \frac{r_u \times r_v}{\|r_u \times r_v\|}$$



## Derivada direccional o de Lie

$$\mathcal{L}_X f \equiv X[f] = df \cdot X = \sum_i \frac{\partial f}{\partial x_i} X_i \in \mathcal{X}^{k-2}(M)$$

## Endomorfismo de Weingarten

La diferencial del mapa de Gauss  $dN : T_p S \rightarrow T_{N(p)} \mathbb{S}^2$  induce el endomorfismo de Weingarten  $L : T_p S \rightarrow T_p S$ .

---

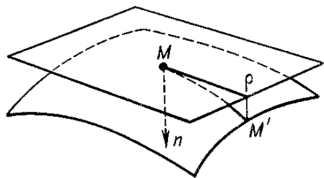
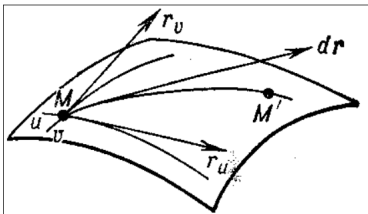
[2] [Manfredo P. do Carmo. Geometría diferencial de curvas y superficies. 1990.](#)



# Formas fundamentales

## $k$ -ésima forma fundamental

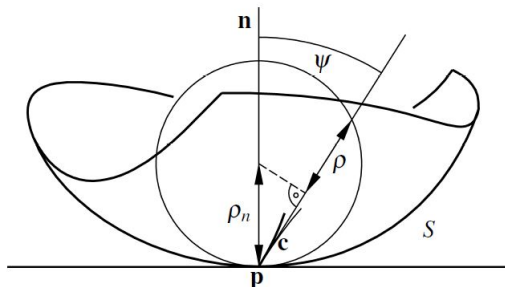
Dada una superficie  $S$  y  $X, Y \in T_p S$ , definimos la  $k$ -ésima forma fundamental como  $\langle L^{k-1}X, Y \rangle$ ;  $k \in \mathbb{N}$ .



# Secciones normales de superficies

## Proposición de Meusnier

Todas las curvas de una superficie que pasan por un mismo punto y tienen la misma tangente en él, tienen la misma curvatura normal en dicho punto y los círculos osculantes forman una esfera (**esfera de Meusnier**).



Denotando por  $K$  a la matriz de la diferencial de la aplicación de Gauss  $d_p N$ , sus invariantes algebraicos quedan determinados por sus autovalores  $\kappa_1$  y  $\kappa_2$ , suponiendo  $\kappa_1 \geq \kappa_2$ .

- **Curvatura media:**  $H \equiv \kappa_m = \frac{1}{2} \operatorname{tr}(K) = \frac{1}{2}(\kappa_1 + \kappa_2)$

- **Curvatura de Gauss:**  $K \equiv \kappa_t = |K| = \kappa_1 \kappa_2$

Esto permite dar una clasificación de los diversos puntos de la superficie en función del signo de la curvatura gaussiana, si se anula alguna curvatura principal o en caso de valores extremos de éstas:

- |            |               |              |
|------------|---------------|--------------|
| • Elíptico | • Hiperbólico | • Parabólico |
| • Umbílico | • Plano       | • Cresta     |

## Teorema Egregium de Gauss

La curvatura de Gauss de una superficie regular es invariante por isometrías locales.

## Ecuaciones de compatibilidad

$$\begin{aligned} EK &= (\Gamma_{11}^2)_v - (\Gamma_{12}^2)_u + \Gamma_{11}^1 \Gamma_{12}^2 + \Gamma_{11}^2 \Gamma_{22}^2 - \Gamma_{12}^1 \Gamma_{11}^2 - (\Gamma_{12}^2)^2, \\ e_v - f_u &= e\Gamma_{12}^1 + f(\Gamma_{12}^2 - \Gamma_{11}^1) - g\Gamma_{11}^2, \\ f_v - g_u &= e\Gamma_{22}^1 + f(\Gamma_{22}^2 - \Gamma_{12}^1) - g\Gamma_{12}^2. \end{aligned}$$

# Tabla de contenidos

- 1 Modelado teórico
- 2 Flujos de curvatura**
- 3 Enfoque variacional
- 4 Estrategias basadas en los datos
- 5 Conclusiones y trabajo futuro

# Evolución de superficies

Para el análisis de gestos, estudiaremos la evolución a lo largo del tiempo de una familia de superficies representadas de manera explícita (forma de Monge);  $z = f(x, y)$ .

$$S_t = \{(x, y, z) \mid z = F(x, y, t)\}$$

Su deformación a lo largo de la dirección normal plantea el **problema de valores iniciales**:

$$F_t(x, y, t) = \beta \cdot \sqrt{1 + F_x^2 + F_y^2}$$

$$F(x, y, 0) = f(x, y)$$

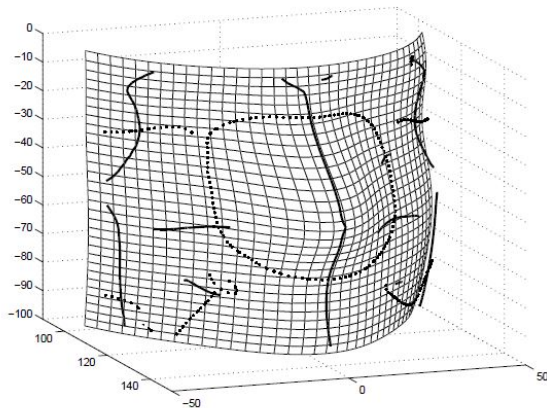
La solución de éste, para un  $t$  pequeño, puede aproximarse por el **flujo**:

$$F(x, y, t) = f(x, y) + \beta \cdot \sqrt{1 + f_x^2 + f_y^2} \cdot t + O(t)$$

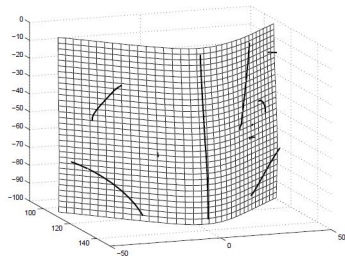
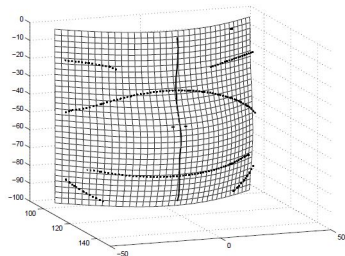
---

[3] Lu, Cao y Mumford. *Surface Evolution under Curvature Flows*. 2002.

# Malla cuadrangular sobre el escaneo del rostro



# Flujos de curvatura principales sobre la cara



La cara tras pasar por los flujos  $K_1$  (izq.) y  $K_2$  (dcha.) en  $t = 1000$ .



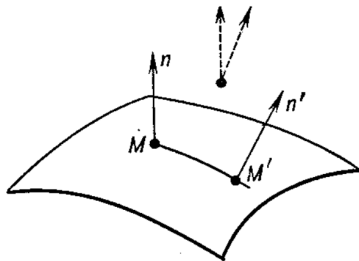
# Tabla de contenidos

- 1 Modelado teórico
- 2 Flujos de curvatura
- 3 Enfoque variacional**
- 4 Estrategias basadas en los datos
- 5 Conclusiones y trabajo futuro

# Energía de Willmore

## Energía de Willmore

$$\mathcal{W}(S) = \int_S (H^2 - \mathbf{K}) dA = \frac{1}{4} \int_S (\kappa_1 - \kappa_2)^2 dA$$



[4] Jose Antonio Lorenzo Abril. Superficies de Willmore en el espacio euclídeo. 2022.

# Funcional de energía de Willmore

## Teorema de Gauss para aplicaciones esféricas

$$|\omega(D)| := \int_S \mathbf{K} \, dA = \iint_{\mathbb{S}^2} d\sigma$$

## Funcional de energía de Willmore

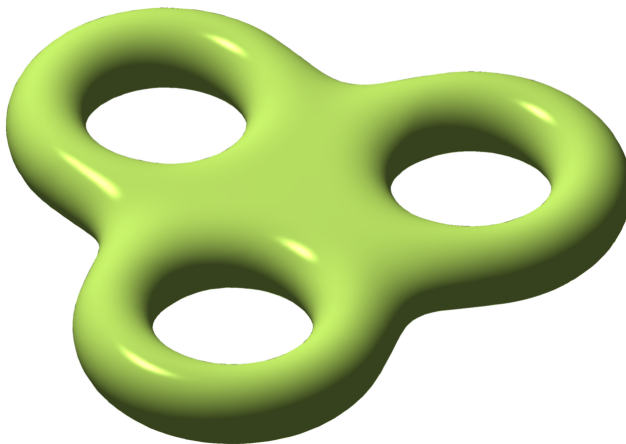
$$\mathcal{W}(S) = \int_S H^2 \, dA$$

Una **superficie de Willmore** es un punto crítico del funcional

$$\mathcal{W} : SCO(\mathbb{R}^3) \rightarrow \mathbb{R},$$

donde  $SCO(\mathbb{R}^3)$  es el conjunto de superficies compactas y orientables.

# Aplicación al modelado de la cara



# Cara como superficies de Willmore

## Invarianza conforme del funcional de Willmore

Sea  $S \in SCO(\mathbb{R}^3)$  y  $\Phi$  una aplicación conforme e inyectiva. Entonces,

$$S' = \Phi(S) \in SCO(\mathbb{R}^3) \text{ y } \mathcal{W}(S) = \mathcal{W}(S').$$

## Ecuación de Euler-Lagrange para las superficies de Willmore

$$\Delta H + 2H(H^2 - 2\mathbf{K}) = 0$$

- **Flujo óptico en secuencias de vídeo:** Extracción de hechos significativos a partir de valores extremos de la **función intensidad**,

$$I : R \times [0, D] \rightarrow [0, 255]$$

en *frames* específicos. Para ello, ésta se supone constante en instantes próximos y se estudia el **flujo óptico** asociado:

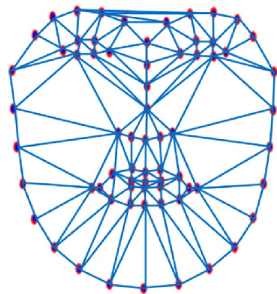
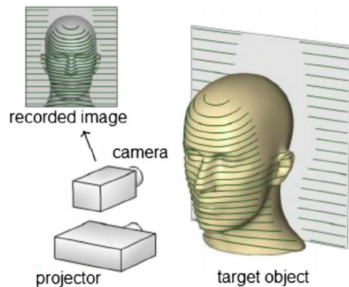
$$\int_{\Omega} \nabla_t I = 0$$

- **Flujos de volumen:** Análisis de la evolución de superficies en movimiento como variedades tridimensionales.

# Tabla de contenidos

- 1 Modelado teórico
- 2 Flujos de curvatura
- 3 Enfoque variacional
- 4 Estrategias basadas en los datos**
- 5 Conclusiones y trabajo futuro

# Captura de datos





# Métodos de reconocimiento facial

- **Representación holística:** Análisis del rostro como un elemento único, preservando la interrelación entre las partes.
- **Extracción de hechos significativos:** Descomponer la cara en regiones de interés para su análisis individual.

A causa del gran volumen de datos a manejar, es necesario aplicar **técnicas de reducción de dimensionalidad** como **Análisis de Componentes Principales (PCA)**.

---

[5] Turk y Pentland. *Eigenfaces for Recognition*. 1991.

- 1 Obtener el conjunto de imágenes de entrenamiento.
- 2 Calcular y sustraer la imagen promedio.
- 3 Calcular autovalores y autovectores de la matriz de covarianza.
- 4 Escoger las  $k$  componentes principales según un umbral  $\epsilon < \frac{\sum_{i=1}^k s_i^2}{\sum_{i=1}^n s_i^2}$ .

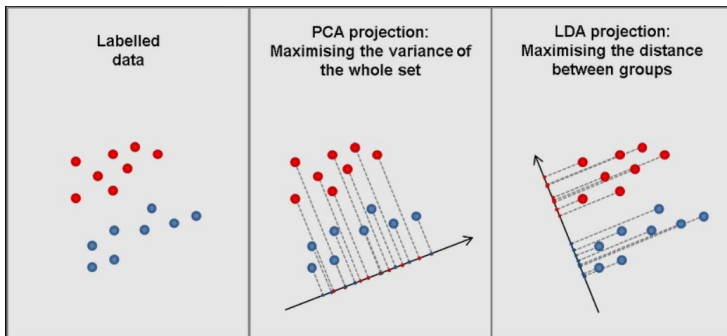
# Dataset de Olivetti



# Eigenfaces del dataset de Olivetti



**Análisis Discriminante Lineal (LDA)** es una técnica de *clustering* para la clasificación de datos en clases mediante la creación de hiperplanos.



# Fisherfaces



(a)



(b)

# Tabla de contenidos

- 1 Modelado teórico
- 2 Flujos de curvatura
- 3 Enfoque variacional
- 4 Estrategias basadas en los datos
- 5 Conclusiones y trabajo futuro

# Conclusiones

- El modelado superficial del rostro como una **variedad** resulta un enfoque apropiado.
- La cara se puede segmentar en **regiones de curvatura** constante.
- Los **flujos de curvatura** permiten simplificar las singularidades de la superficie y modelar gestos.
- Otras alternativas para el seguimiento de gestos son flujos como el de la **energía de Willmore**.
- Las estrategias **bottom-up** permiten complementar y expandir dichos modelos teóricos.



- Incorporar geometría subyacente de **músculos** y **esqueleto** al modelo basado en apariencias.
- Realizar una **simulación de gestos faciales** usando mapas de curvaturas y sus relaciones en términos del funcional de energía de Willmore.
- Desarrollar la **retroalimentación** entre estrategias *top-down* y *bottom-up*.
- Entrenar y validar **modelos de Inteligencia Artificial** para el reconocimiento, seguimiento y simulación de gestos faciales.

# Turno de preguntas

